

图 8

19. 导致我国夏季风指数变化的主要原因是

- A. 西太平洋副热带高压不稳定
- B. 全球气候持续变暖
- C. 海陆热力性质差异不断加大
- D. 青藏高原不断隆起

20. 1880~2000 年, 长江流域伏旱最严重的年份可能是

- A. 1900 年
- B. 1920 年
- C. 1940 年
- D. 1990 年

21. 1960~1970 年, 我国

- A. 1 月 0°C 等温线略向南移
- B. 北方地区降水量偏大
- C. 东北地区山地雪线偏高
- D. 华北地区河流冰期缩短

索契位于世界纬度最高的亚热带气候分布区, 图 9 示意索契地理位置。据此完成 22~24 题。

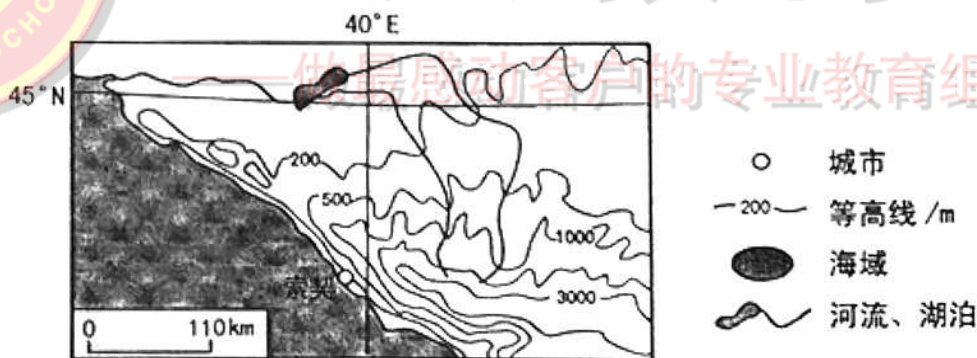


图 9

22. 索契西临

- A. 咸海
- B. 红海
- C. 里海
- D. 黑海

23. 索契成为亚热带气候的主要原因是

- A. 邻海, 气温年较差小
- B. 冬季气温较同纬度高
- C. 夏季晴天多, 太阳辐射强
- D. 沿岸暖流的增温增湿

24. 索契的降水特点属

- A. 年雨型
- B. 夏雨型
- C. 冬雨型
- D. 少雨型





图 10 示意我国某山脉北坡垂直自然带的变化。读图完成 25~27 题。

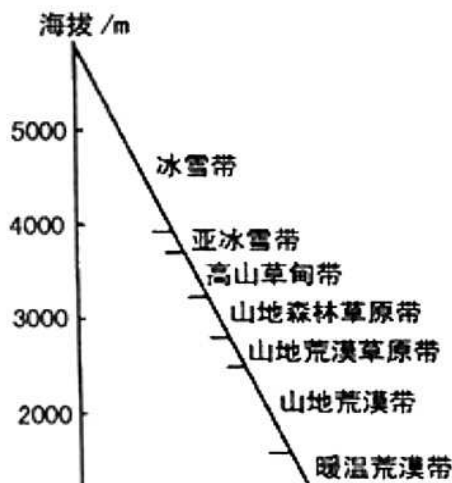


图 10

25. 该山脉可能是

- A. 秦岭 B. 昆仑山 C. 太行山 D. 喜马拉雅山

26. 导致该山脉从山麓到山顶自然带变化的主要因素是

- A. 热量 B. 水分 C. 水热 D. 土壤

27. 与北坡相比, 该山南坡

- A. 降水丰富, 自然带数量多 B. 热量充足, 自然带数量多
C. 相对高度小, 自然带数量少 D. 蒸发量大, 自然带数量少

图 11 为某游客在我国某地(40°N, 113°E)游览时拍摄的日落景观, 照片中山地森林茂密葱绿。据此完成 28~30 题。



图 11

28. 拍摄时北京时间可能是

- A. 15 时 B. 17 时 C. 19 时 D. 21 时

29. 该游客拍摄此景观时, 面向

- A. 东北方向 B. 西南方向 C. 东南方向 D. 西北方向

30. 拍摄季节, 该地

- A. 河流进入枯水期 B. 盛行西北风
C. 进入旅游旺季 D. 沙尘暴频发





第 I 卷答题栏:

题号	1	2	3	4	5	6	7	8	9	10	11	12	13	14	15
答案															
题号	16	17	18	19	20	21	22	23	24	25	26	27	28	29	30
答案															

第 II 卷(非选择题 共 90 分)

注意事项:

1. 用钢笔或圆珠笔直接答在试题卷中。
2. 答卷前将密封线内项目填写清楚。

题号	一	二					总分
		31	32	33	34	35	
得分							

本卷共 5 小题, 共 90 分

得分	评卷人

31. 阅读图文资料, 完成下列要求。(22 分)

火地岛夏凉冬冷, 降水地区差异显著。岛上雪山重峦叠嶂、群山环抱、森林密布; 民居多以低矮、屋顶坡度较大的木屋为主。图 12 示意火地岛地理位置。



图 12

(1) 分析甲地风暴强劲的原因。(6 分)





(2)推测火地岛降水的分布特征,并说明成因。(8分)

(3)说明甲地民居特征与当地自然环境的关系。(8分)

得分	评卷人

32. 阅读图文资料,完成下列要求。(16分)

渭河发源于甘肃鸟鼠山,流经关中平原,在潼关注入黄河。渭河全长 818km,宝鸡和咸阳是其上中下游的分界点,各段水文特征不同。图 13 示意渭河流域主体区域等高线分布。

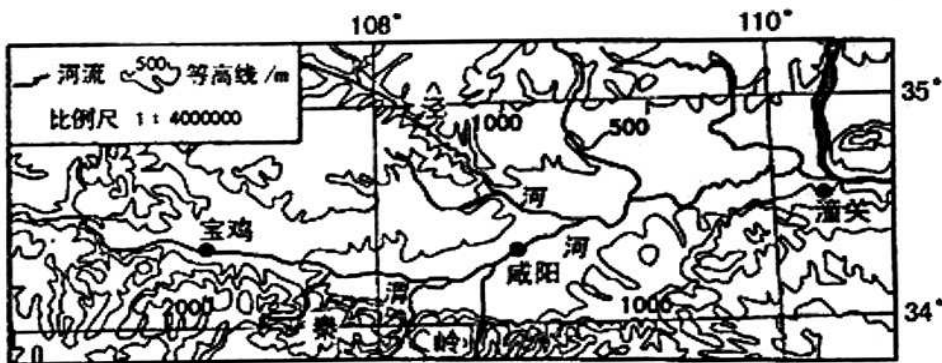


图 13

(1)描述图示区域的地形特征。(8分)

